

## استفاده از تبدیل کلارک به منظور تشخیص انواع نوسان توان و خطاهای همزمان با آن

بهروز طاهری<sup>۱</sup>، کارشناس ارشد، سید امیر حسینی<sup>۲</sup>، استادیار، فرزاد رضوی<sup>۱</sup>، استادیار

۱- دانشکده مهندسی برق، پزشکی و مکاترونیک- دانشگاه آزاد اسلامی واحد قزوین- قزوین- ایران

behrooztaheri1372@gmail.com-farzad.razavi@qiau.ac.ir

۲- گروه مهندسی برق- دانشکده فنی و مهندسی گلپایگان- اصفهان- ایران

hosseini.amir@gut.ac.ir

**چکیده:** رله‌های دیستانس به طور گسترده برای حفاظت از خطوط انتقال انرژی مورد استفاده قرار می‌گیرند. گاهی ممکن است در این خطوط در اثر وقوع نوسان توان، امپدانس محاسبه شده در رله دیستانس وارد زون‌های عملکردی آن شود و منجر به قطع بی-مورد خطوط شود. قطع بی-مورد خطوط می‌تواند باعث بروز خاموشی‌های سراسری در شبکه‌های قدرت شود. بر این اساس در این مقاله روشی بر مبنای تبدیل کلارک برای تشخیص نوسان توان و تمایز آن از خطاهای همزمان ارائه شده است. روش ارائه شده بر اساس محاسبه میانگین سیگنال‌های جریان شبکه در خروجی تبدیل کلارک عمل می‌کند. این روش مستقل از پارامترهای شبکه است و قابلیت تشخیص انواع نوسانات از جمله نوسان توان پایدار و ناپایدار و انواع خطاهای همزمان را دارا می‌باشد. برای ارزیابی روش ارائه شده ابتدا حالت‌های مختلف نوسان توان و خطاهای همزمان در نرمافزار DIGSILENT شبیه‌سازی شده و سپس با استفاده از داده‌های ماتریسی بدست آمده از سیگنال جریان، الگوریتم پیشنهادی در محیط نرم‌افزار Matlab و با استفاده از تبدیل کلارک پیاده‌سازی شده است. علاوه بر ارزیابی نرم‌افزاری، روش پیشنهادی با استفاده از تستر و رله ساخته شده توسط شرکت دانش‌بنیان و بکو امیرکبیر، تست عملی شده است. نتایج تست‌های نرم‌افزاری و عملی نشان از موفقیت روش پیشنهادی در تشخیص انواع نوسان توان دارند. همچنین این نتایج نشان می‌دهند که روش پیشنهادی از سرعت بالایی در تشخیص خطاهای همزمان با نوسان توان، برخوردار است.

**واژه‌های کلیدی:** نوسان توان، رله دیستانس، تبدیل کلارک، حفاظت سیستم‌های قدرت، حالات گذرا.

تاریخ ارسال مقاله : ۹۸/۰۱/۲۳

تاریخ پذیرش مقاله : ۹۸/۰۴/۱۶

نام نویسنده‌ی مسئول : فرزاد رضوی

نشانی نویسنده‌ی مسئول : قزوین - خیابان دانشگاه - بلوار نخبگان - مجتمع شهید عباسپور- دانشکده مهندسی برق، پزشکی و مکاترونیک.

## ۱- مقدمه

توان و خطاهای همزمان با نوسان توان معرفی شده است. طرح‌های پیشنهاد شده در [۱۸، ۱۹]، از رویکردهای ریاضی مانند تکنیک‌های مورفولوژی برای تمایز بین شرایط خطا و نوسان توان استفاده کرده‌اند. با این وجود به دلیل استفاده از روابط پیچیده ریاضی، پیاده‌سازی این روش‌ها در عمل با چالش همراه است. در [۲۰] روشی مبتنی بر مؤلفه‌های تحمیلی پیشنهاد شده است که دارای حساسیت کمتری به خطاهای همزمان با نوسان توان هستند. بر این اساس در [۲۱] از روش عصبی-فازی برای تشخیص و بلاک نوسان توان استفاده شده است. در مقاله [۲۲] روشی بر اساس نرخ تغییرات مقدار متوسط توان ظاهری ارائه شده است. همچنین مقاله [۲۳] روشی بر اساس سرعت تغییرات مؤلفه منفی توان را ارائه داده است.

با بررسی مطالعات مختلف، مشخص است که تشخیص خطاهای متقارن و تمایز آن از نوسانات توان یکی از چالش‌های عمدۀ الگوریتم‌های قفل کننده نوسان توان به شمار می‌رود. همچنین حجم محاسبات بالا یکی از دلایل طولانی‌تر شدن زمان تشخیص نوسان توان و در نتیجه عدم کاربرد صنعتی بسیاری از روش‌های پیشنهاد شده می‌باشد. بر این اساس، در مقاله حاضر یک روش جدید بر اساس تبدیل کلارک<sup>۵</sup> برای تشخیص نوسان توان پیشنهاد شده است. روش ارائه شده قابلیت تشخیص انواع نوسانات توان و خطاهای متقارن و نامتقارن همزمان را دارا می‌باشد. به علاوه به دلیل پردازش مستقیم جریان‌های شبکه در خروجی تبدیل کلارک، حجم محاسبات در این روش پایین بوده و در نتیجه از سرعت بالایی برخوردار است. برای پیاده‌سازی روش ارائه شده، ابتدا حالت‌های مختلف نوسان توان و خطاهای همزمان در نرم‌افزار DIGSILENT شبیه‌سازی شده و سپس با استفاده از داده‌های ماتریسی به دست آمده از سیگنال جریان، الگوریتم پیشنهادی در محیط نرم‌افزار Matlab و با استفاده از تبدیل کلارک پیاده‌سازی شده است. روش بیان شده بر روی شبکه ۳۹ با سه استاندارد و در شرایط انواع نوسانات توان و خطاهای مختلف همزمان، مورد ارزیابی قرار گرفته است. نتایج به دست آمده از اعمال روش پیشنهادی نشان از دقت این روش در تشخیص انواع نوسان توان شامل نوسان توان پایدار، نوسان توان نایپایدار و نوسان توان مولتی مد و انواع خطاهای همزمان با آن دارند. همچنین این روش به صورت عملی و با استفاده از تستر و رله ساخته شده در شرکت دانش‌بنیان و بکو امیرکبیر تست و با روش‌های صنعتی موجود در سایر رله‌های حفاظتی مقایسه شده است. نتایج تست عملی نشان از برتری این روش در تشخیص انواع نوسان توان با زمان‌های کوتاه‌تر نسبت به روش‌های موجود در رله‌های حفاظتی دارد. همچنین به دلیل استفاده از روابط ریاضی ساده، این روش قابلیت پیاده‌سازی به صورت عملی را بر روی رله‌های حفاظتی دارا می‌باشد.

ساختمار این مقاله بدین شکل می‌باشد. در بخش دوم، روش جدید پیشنهادی و چگونگی عملکرد آن برای تمایز بین نوسان توان و خطاهای همزمان با بهره‌گیری از تبدیل کلارک ارائه شده است. در بخش سوم به ارزیابی نرم‌افزاری روش پیشنهادی پرداخته شده است.

اختلالات در سیستم‌های قدرت ممکن است باعث ایجاد نوسانات در زاویه چرخش ژنراتورها شوند که این مسئله خود منجر به ایجاد نوسان توان می‌شود. بسته به شدت اختلالات، سیستم ممکن است پایداری خود را از دست بدهد [۱، ۲]. این نوسانات در خطوط انتقال ممکن است موجب ورود امپدانس محاسبه شده به زون‌های حفاظتی رله‌های دیستانس شده و در نتیجه منجر به خاموش شدن بی‌مورد خطوط شود [۳]. برای جلوگیری از بروز چنین مشکلاتی از فانکشن قفل کننده نوسان توان<sup>۱</sup> در رله‌های دیستانس استفاده می‌شود.

نحوه تشخیص نوسان توان و قفل نمودن فانکشن PSB چالش بسیاری از مطالعات بوده است. بر این اساس در مطالعات روش‌های مختلفی برای تشخیص نوسان توان وفعال نمودن این فانکشن پیشنهاد شده است. مهم‌ترین روشی که بدین منظور استفاده می‌شود و در مطالعه [۴] نیز پیشنهاد شده است، ارزیابی نرخ تغییرات امپدانس می‌باشد که از ناحیه‌ای مشخص شده عبور می‌کند. مشکل این روش عدم تشخیص خطاهای متقارن که به صورت همزمان با نوسان توان رخ می‌دهند، می‌باشد. روشی مبتنی بر ولتاژ مرکز نوسان<sup>۲</sup> در مقالات [۷-۵] ارائه شده است. این طرح‌ها از  $V \cos \theta$  برای تشخیص نوسان توان و تمایز آن از خط استفاده می‌کنند که در آن  $V$  مقدار ولتاژ در محل رله و  $\theta$  زاویه بین سیگنال جریان و ولتاژ در محل رله می‌باشد. به دلیل تولید گذراهای الکترومغناطیسی در طول خط، طرح تبدیل موجک برای تجزیه و تحلیل گذراها در سیستم‌های قدرت در برخی مطالعات مانند [۱۰-۸] معرفی شده است. یکی از مشکلات روش‌های تشخیص نوسان توان، تمایز بین این حالت و خطاهای سه فاز است. در واقع تشخیص خطاهای سه فاز به دلیل طبیعت متقارن آن‌ها برای تمامی تشخیص دهنده‌ها چالش برانگیز می‌باشد. بر این اساس در [۱۱] روشی ارائه شده است تا با استفاده از مقدار مؤلفه نامتقارن در لحظه شروع خطأ بتوان آن را از خطأ تشخیص داد. برای این روش یک مقدار آستانه نیز در نظر گرفته می‌شود و زمانی که مقدار مؤلفه نامتقارن از مقدار آستانه بیشتر شود، خطأ تشخیص داده شده و رله از حالت قفل خارج می‌شود. نرخ تغییرات فرکانس لحظه‌ای در سیستم قدرت بعنوان روشی با سرعت بالا در مطالعه [۱۲]، برای تشخیص نوسان توان و خطاهای همزمان استفاده شده است. روش ارائه شده در مقاله [۱۳] از تغییرات مقدار مؤثر جریان<sup>۳</sup> جهت تشخیص نوسان توان و تمایز آن از خطاهای همزمان استفاده کرده است. در مقاله [۱۴] یک روش تخمین نمونه و محاسبه خطأ مبتنی بر بسط سری تیلور برای تشخیص سریع نوسان توان استفاده شده است. این روش قابلیت تشخیص انواع مختلف خطأ را دارد. روش ماشین بردار پشتیبان<sup>۴</sup> در [۱۵] و خطوط جبران شده سری در [۱۶] نیز جزء طرح‌هایی هستند که برای تشخیص نوسان توان پیشنهاد گردیده‌اند. در [۱۷]، یک طرح جدید بر اساس ترکیبی از کوواریانس سیگنال‌های جریان با روش تجمعی برای شناسایی نوسان

جريان‌های سه فاز روی محورهای  $a$ ,  $b$  و  $c$  با زمان تغییر می‌کنند و می‌توان آن‌ها را به صورت جبری به جريان‌های دو فاز تبدیل کرد که روی محورهای  $\alpha$  و  $\beta$  با تبدیل رابطه (۱) تغییر می‌کنند.

$$T_{\alpha\beta 0} = \frac{2}{3} \begin{bmatrix} 1 & -\frac{1}{2} & -\frac{1}{2} \\ 0 & \frac{\sqrt{3}}{2} & -\frac{\sqrt{3}}{2} \\ \frac{1}{2} & \frac{1}{2} & \frac{1}{2} \end{bmatrix} \quad (1)$$

معکوس این تبدیل را که در رابطه (۲) نشان داده شده است، می‌توان برای تبدیل مقادیر از دو فاز به سه فاز به کار برد.

$$T_{\alpha\beta 0}^{-1} = \begin{bmatrix} 1 & 0 & 1 \\ -\frac{1}{2} & \frac{\sqrt{3}}{2} & 1 \\ -\frac{1}{2} & -\frac{\sqrt{3}}{2} & 1 \end{bmatrix} \quad (2)$$

لازم به ذکر است که مؤلفه صفر تبدیل کلارک، مشابه مؤلفه توالی صفر در تبدیل مؤلفه‌های متقارن است؛ مثلاً برای جريان‌های  $I_a$ ,  $I_b$  و  $I_c$  مؤلفه توالی صفر برای هر دو تبدیل کلارک و مؤلفه‌های متقارن برابر با  $\frac{1}{3}(I_a + I_b + I_c)$  است.

با استفاده از ماتریس‌های تبدیل کلارک (روابط (۱) و (۲)) جريان‌های سه فاز رابطه (۳) که از طریق ترانسفورماتورهای جريان وارد رله‌های حفاظتی شده است، به حوزه محورهای  $\alpha$  و  $\beta$  وارد شده و جريان‌های  $I_\alpha$ ,  $I_\beta$  و  $I_0$  مطابق رابطه (۴) حاصل می‌شوند.

$$\begin{bmatrix} I_a \\ I_b \\ I_c \end{bmatrix} = \begin{bmatrix} I_m \cos(\omega t - \delta) \\ I_m \cos(\omega t - \delta - \frac{2\pi}{3}) \\ I_m \cos(\omega t - \delta + \frac{2\pi}{3}) \end{bmatrix} \quad (3)$$

$$\begin{bmatrix} I_\alpha \\ I_\beta \\ I_0 \end{bmatrix} = T_{\alpha\beta 0} \begin{bmatrix} I_a \\ I_b \\ I_c \end{bmatrix} = \begin{bmatrix} I_m \cos(\omega t - \delta) \\ I_m \sin(\omega t - \delta) \\ 0 \end{bmatrix} \quad (4)$$

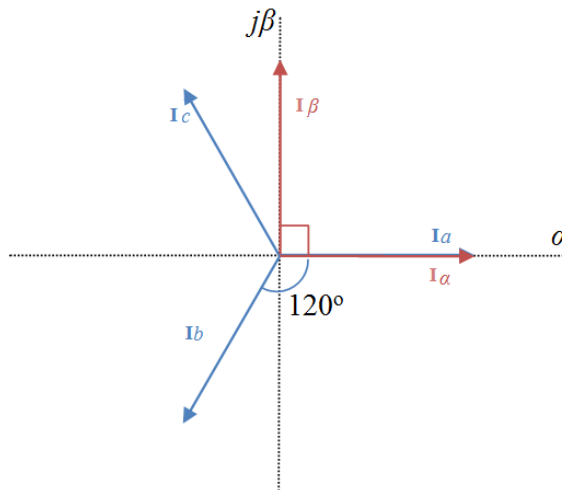
با اعمال تبدیل کلارک بر روی جريان‌های سه فاز، مطابق رابطه (۴) می‌توان مشاهده نمود که  $I_\alpha$  یک تابع کسینوسی،  $I_\beta$  یک تابع سینوسی و  $I_0$  برابر با صفر است. بنابراین با اعمال تبدیل کلارک بر روی خروجی ترانس‌های جريان رله‌های حفاظتی، شکل موج‌های دیده

بر این اساس در این بخش، روش پیشنهادی در انواع مختلف نوسان توان و خطاهای همزمان با آن، بر روی یک شبکه نمونه مورد تست و ارزیابی قرار گرفته است. در بخش چهارم، روش پیشنهادی به صورت عملی تست و با روش‌های موجود در رله‌های حفاظتی مقایسه شده است.

## ۲- روش جدید

### ۲-۱- روش جدید پیشنهادی برای تشخیص نوسان توان و انواع خطای همزمان با آن

همان‌طور که بررسی مطالعات گذشته نشان داد، یکی از مشکلات تشخیص نوسان توان در رله‌های حفاظتی، حجم بالای محاسبات انجام شده توسط این رله‌ها و تشخیص خطای همزمان با نوسان توان است. بنابراین توسعه روشی که با محاسبات ساده بتواند نوسان توان را در زمان کوتاه تشخیص دهد، ضروری است. بر این اساس در این مقاله محاسبه متوسط سیگنال‌های جريان در خروجی تبدیل کلارک برای تشخیص نوسان توان و خطای همزمان با آن پیشنهاد می‌شود. تبدیل کلارک روشی برای ساده‌سازی و تحلیل مدارات سه فاز است. این تبدیل شبکه سه فاز را به یک شبکه دو فاز تبدیل می‌کند که باعث سادگی در محاسبات و تحلیل‌ها می‌شود. تبدیل کلارک از نظر مفهومی مشابه تبدیل  $d-q-0$  است. شکل (۱) فازورهای جريانی در خروجی تبدیل کلارک (محورهای  $\alpha$  و  $\beta$ ) نشان می‌دهد. همان‌طور که از این شکل مشخص است، در قاب مرتع خنثی، توزیع جريان سه محور ساکن  $I_a$ ,  $I_b$  و  $I_c$  برابر با  $120^\circ$  درجه است. با اعمال تبدیل کلارک،  $I_\alpha$  در جهت فاز  $I_a$  می‌باشد و اين جريان به اندازه  $90^\circ$  درجه نسبت به  $I_\beta$  اختلاف فاز دارد. با اين وجود اندازه پريونيت بردارهای  $I_\alpha$  و  $I_\beta$  برابر است.

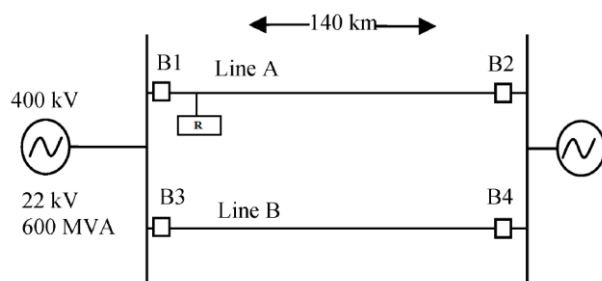


شکل (۱): قاب‌های مرتع ساکن سه فاز و دو فاز

$$T = \frac{1}{F_f} \quad (8)$$

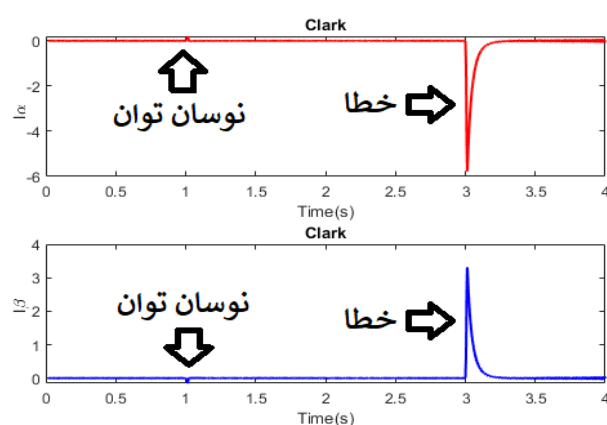
در این روابط  $A_q$  ماتریس نمونه‌های اخذ شده از سیگنال  $q$  (۸) یا  $I_\alpha$  و  $a_{i,q}$  نمونه آم اخذ شده از این سیگنال است. همچنین سیگنال  $S_q(t)$  ورودی در حوزه کلارک است.

بهمنظور مشاهده سیگنال‌های خروجی رابطه (۷) و تصمیم‌گیری در مورد شرط تشخیص خطأ در روش پیشنهادی، از شبکه نمونه [۲۴] شکل (۴) استفاده شده است [۲۴].



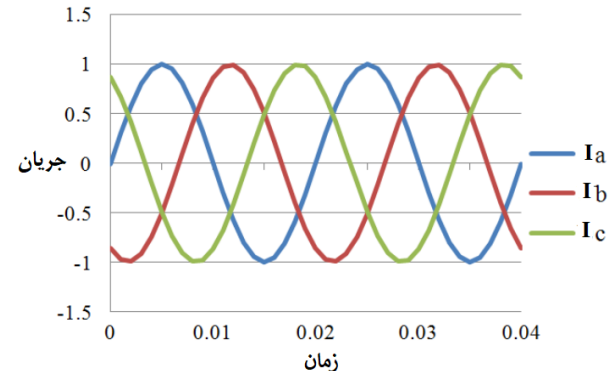
شکل (۴): شبکه دو سو تغذیه ۴۰۰ کیلوولت نمونه

در شبکه نمونه شکل (۴)، یک رله دیستانس برای حفاظت خط A قرار داده شده است. بهمنظور ایجاد نوسان توان بر روی خط A کلیدهای قدرت در خط موازی B در ثانیه ۵. باز می‌شوند. برای شبیه‌سازی خطای همزمان با نوسان توان یک خطای سه فاز متعادل در ثانیه سوم بر روی خط A اعمال شده است. شکل (۵) متوجه سیگنال‌های جریان را در محورهای  $\alpha$  و  $\beta$  نشان می‌دهد. همان‌طور که از شکل (۵) مشخص است، مقدار متوسط به دست آمده از محورهای  $\alpha$  و  $\beta$  در زمان نوسان توان، تقریباً صفر است. این در صورتی است که این مقدار در زمان خطأ زیاد می‌شود. با استفاده از این ویژگی و با انتخاب مناسب مقادیر آستانه برای مقادیر متوسط جریان‌های  $I_\alpha$  و  $I_\beta$  می‌توان نوسان توان و خطای همزمان با نوسان توان را با دقت و سرعت بسیار بالا تشخیص داد. بدین منظور شرط تشخیص نوسان توان و خطاهای همزمان با آن به صورت رابطه (۹) پیشنهاد می‌شود.

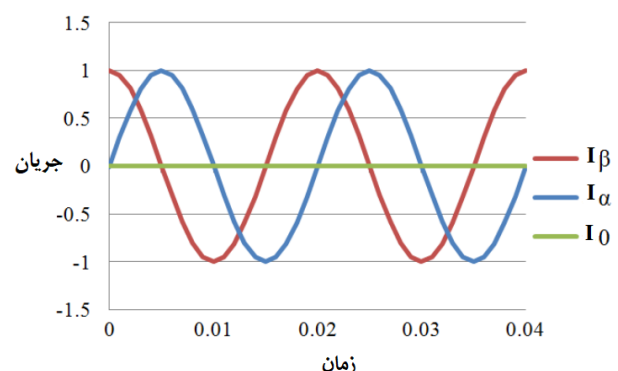


شکل (۵): تغییرات  $I_\alpha$  و  $I_\beta$  در زمان نوسان توان و خطأ

شده توسط فانکشن تشخیص نوسان توان از شکل (۲) به شکل (۳) تغییر خواهد نمود.



شکل (۲): جریان‌های سه فاز در حوزه زمان



شکل (۳): جریان‌های شبکه در خروجی تبدیل کلارک

بهمنظور محاسبه متوسط سیگنال‌های جریان در خروجی تبدیل کلارک، با استفاده از یک پنجره نمونه‌برداری از نوع Moving Data Windows که طول آن مطابق رابطه (۵) محاسبه می‌شود، بهطور مجزا از جریان‌های  $I_\alpha$  و  $I_\beta$  نمونه‌برداری می‌شود.

$$\text{window's length} = \frac{F_s}{F_f} \quad (5)$$

در این رابطه  $F_s$  فرکانس نمونه‌برداری (مشابه بسیاری از رله‌های دیجیتال صنعتی، مقدار فرکانس نمونه‌برداری استفاده شده در این مقاله ۱۰ کیلوهرتز است) و  $F_f$  فرکانس پایه سیستم می‌باشند. مطابق رابطه (۶) داده‌های نمونه‌برداری شده در پنجره سیگنال، تشکیل یک ماتریس داده می‌دهند که با استفاده از روابط (۷) و (۸) میانگین سیگنال‌های استخراج شده به دست می‌آید.

$$A_q = [a_{1,q}, a_{2,q}, \dots, a_{i,q}] \quad (6)$$

$$\text{Ave}(S_q(t)) = \frac{1}{N} \sum_{m=k-N+1}^K S(m) \quad (7)$$

## ۲-۲- نحوه محاسبه مقادیر آستانه

در روش پیشنهادی در این مقاله، بمنظور تعیین مقادیر آستانه از شبیه‌سازی‌های عددی استفاده شده است. بدین منظور انواع نوسان توان و انواع خطاهای همزمان با نوسان توان از دیدگاه محل وقوع خطا و زمان شروع خطا با توجه به موارد نشان داده در جدول (۱)، شبیه‌سازی شده است. براساس مقادیر ارائه شده در جدول (۱)، حداکثر مقدار  $I_\alpha$  و  $I_\beta$  در طی نوسانات توان با فرکانس‌های مختلف و نیز حداقل مقدار  $I_\alpha$  و  $I_\beta$  پس از ایجاد خطا در پانزده مورد ارائه شده در این جدول باید تعیین گردد.

جدول (۱): موارد شبیه‌سازی شده برای به دست آوردن مقادیر آستانه

| مورد مطالعه | مقدار فرکانس نوسان توان (Hz) | فاصله خطا از رله R(Km) | زمان اعمال خطا (S) |
|-------------|------------------------------|------------------------|--------------------|
| ۱           | ۱                            | ۵                      | ۱/۵                |
| ۲           | ۱                            | ۷۵                     | ۱/۷۵               |
| ۳           | ۱                            | ۱۳۵                    | ۲                  |
| ۴           | ۲                            | ۵                      | ۰/۷۵               |
| ۵           | ۲                            | ۷۵                     | ۰/۸۷۵              |
| ۶           | ۲                            | ۱۳۵                    | ۱                  |
| ۷           | ۳                            | ۵                      | ۰/۸۳               |
| ۸           | ۳                            | ۷۵                     | ۰/۹۱۵              |
| ۹           | ۳                            | ۱۳۵                    | ۱                  |
| ۱۰          | ۴                            | ۵                      | ۰/۶۲۵              |
| ۱۱          | ۴                            | ۷۵                     | ۰/۶۸۷              |
| ۱۲          | ۴                            | ۱۳۵                    | ۰/۷۵۰              |
| ۱۳          | ۵                            | ۵                      | ۰/۱۵               |
| ۱۴          | ۵                            | ۷۵                     | ۰/۰۵۵              |
| ۱۵          | ۵                            | ۱۳۵                    | ۰/۱۶               |

جدول (۲): مقدار حداکثر و حداقل  $I_\alpha$  و  $I_\beta$  در موارد ۱ تا ۱۵

| مورد مطالعه | مقدار حداکثر $I_\alpha$ | مقدار حداکثر $I_\beta$ | مقدار حداقل $I_\alpha$ | مقدار حداقل $I_\beta$ |
|-------------|-------------------------|------------------------|------------------------|-----------------------|
| ۱           | ۰/۲                     | ۰/۱۵                   | ۰/۹                    | ۰/۹۲                  |
| ۲           | ۰/۳                     | ۰/۱                    | ۰/۸۶                   | ۰/۸۸                  |
| ۳           | ۰/۳۳                    | ۰/۱۲                   | ۰/۷                    | ۰/۷۲                  |
| ۴           | ۰/۳۷                    | ۰/۱۵                   | ۰/۹۳                   | ۰/۹۵                  |
| ۵           | ۰/۳۸                    | ۰/۱۶                   | ۰/۸۴                   | ۰/۸۶                  |
| ۶           | ۰/۱۹                    | ۰/۱۸                   | ۰/۷۲                   | ۰/۷۴                  |
| ۷           | ۰/۸۳۵                   | ۰/۸۰                   | ۰/۸۹                   | ۰/۹۱                  |
| ۸           | ۰/۲۲                    | ۰/۱۴                   | ۰/۸۵                   | ۰/۸۷                  |
| ۹           | ۰/۲۵                    | ۰/۱۵                   | ۰/۷۱                   | ۰/۷۳                  |
| ۱۰          | ۰/۷۵                    | ۰/۶۵                   | ۰/۹۲                   | ۰/۹۴                  |
| ۱۱          | ۰/۵                     | ۰/۳۶                   | ۰/۸۷                   | ۰/۸۹                  |
| ۱۲          | ۰/۷۸                    | ۰/۶۶                   | ۰/۷۲                   | ۰/۷۴                  |
| ۱۳          | ۰/۷۹                    | ۰/۶۴                   | ۰/۹۱                   | ۰/۹۳                  |
| ۱۴          | ۰/۷۵                    | ۰/۶۵                   | ۰/۸۸                   | ۰/۹                   |
| ۱۵          | ۰/۸۰                    | ۰/۷۵                   | ۰/۷۳                   | ۰/۷۵                  |

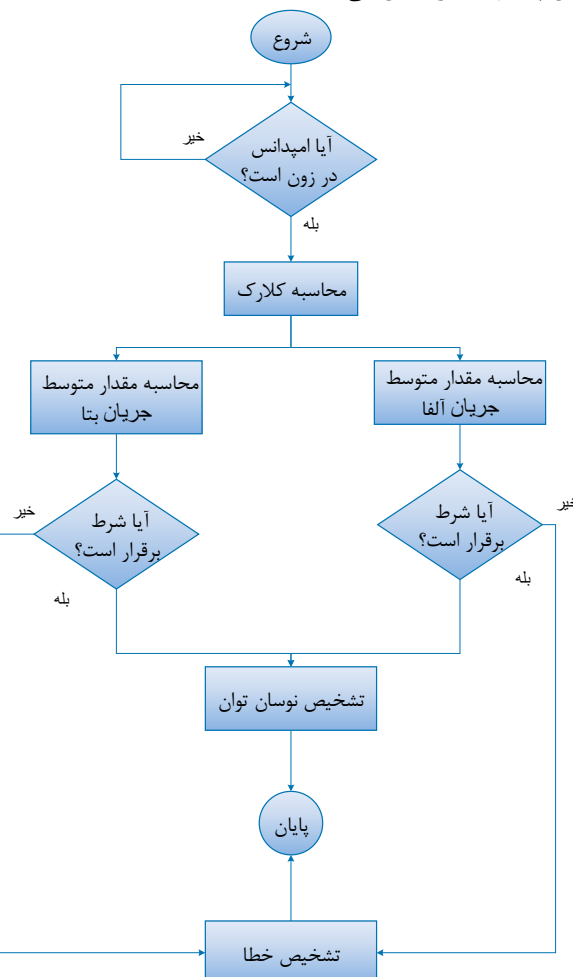
مقادیر حداکثر و حداقل مقدار  $I_\alpha$  و  $I_\beta$  در جدول (۲) نشان داده شده است. همان‌طور که از جدول (۲) مشخص است، حداکثر مقدار  $I_\alpha$  و  $I_\beta$  در زمان نوسانات توان و قبل از شروع خطا ۰/۸۳۵ و ۰/۸۰

If  $K_1 < I_\alpha < K_2$  PSB Detection

or  
If  $K_1 < I_\beta < K_2$  PSB Detection

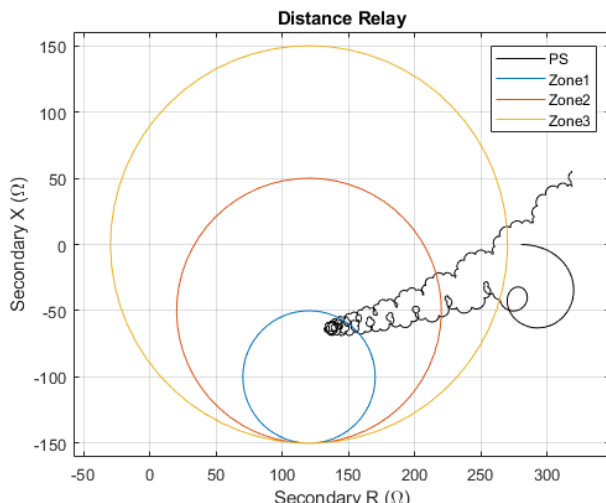
در این رابطه  $K_1$  و  $K_2$  مقدار آستانه برای مقادیر متوسط جریان-های  $I_\alpha$  و  $I_\beta$  هستند. نحوه محاسبه مقادیر آستانه در قسمت بعد شرح داده شده است.

بنابراین به منظور تمایز نوسان توان از خطای دائم، شرط ارائه شده در رابطه (۹) بررسی می‌شود. اگر این شرط برقرار باشد، نوسان توان شناسایی می‌شود و در غیر این صورت خطا تشخیص داده خواهد شد. الگوریتم بعد از تشخیص نوسان توان تا زمانی که امپدانس در زون سوم رله دیستانس قرار دارد به کار خود ادامه می‌دهد تا در صورت رخداد خطای همزمان با نوسان توان و بر هم خوردن شرط نوسان توان بتواند خطای همزمان با نوسان توان را تشخیص دهد. لازم به ذکر است همان‌طور که از روابط ارائه شده بهویشه شرط خطا همزمان رخ داده با نوسان توان که در رابطه (۹) آورده شده است، مشخص است، تشخیص نوسان توان در روش پیشنهادی مستقل از تنظیمات رله‌های دیستانس می‌باشد. بر اساس مطالب بیان شده، شکل (۶) الگوریتم روش پیشنهادی را نشان می‌دهد.

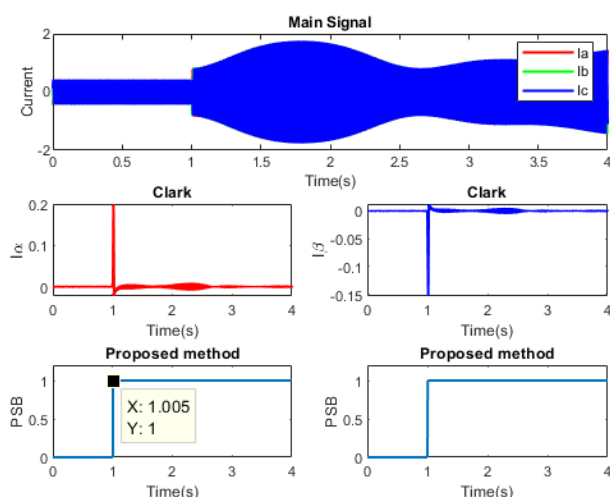


شکل (۶): الگوریتم روش پیشنهادی

توان پایدار در ۵ میلی ثانیه توسط الگوریتم پیشنهادی، به درستی تشخیص داده شده و رله قفل شده است.



شکل (۸): ورود نوسان توان به زون های رله دیستانس



شکل (۹): عملکرد الگوریتم پیشنهادی در طول نوسان توان پایدار

### ۳-۲-۱- مورد مطالعه ۲: نوسان توان ناپایدار

به طور کلی الگوریتم های PSB در رله های دیستانس باید نوسان توان ناپایدار را تشخیص داده و عملکرد رله را قفل کنند. نوسان توان ناپایدار زمانی در سیستم قدرت به وجود خواهد آمد که وقوع افتشاشات بیان شده در قسمت قبل باعث شود یک ژنراتور یا گروهی از ژنراتورها لغش قطب را تجربه کنند. برای شبیه سازی شرایط نوسان توان ناپایدار بر روی خط ۲۶-۲۹ یک بار بزرگ در ثانیه ۰.۵ بر روی بس ۲۶ اعمال شده است. همان طور که در شکل (۱۰) مشاهده می شود، الگوریتم پیشنهادی این نوع نوسان توان را هم در ۵ میلی ثانیه با موفقیت تشخیص داده و رله را به درستی قفل کرده است.

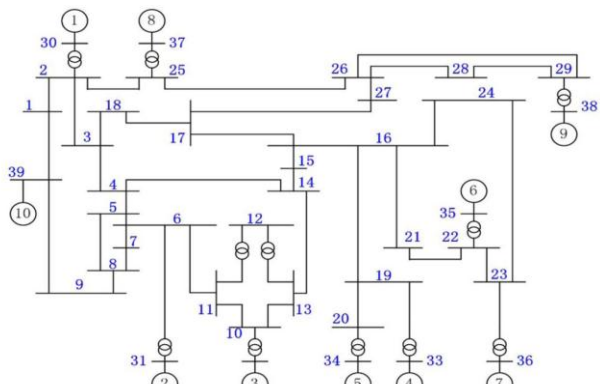
است. در حالی که حداقل مقدار  $I_\alpha$  و  $I_\beta$  در زمان شروع خطای ۰/۹۳ و ۰/۹۵ است. با توجه به جدول (۲) مقادیر آستانه در این مقاله برای  $I_\alpha$  و  $I_\beta$  بازه ۱-۱ در نظر گرفته شده است.

## ۳- ارزیابی نرم افزاری روش پیشنهادی

### ۳-۱- معرفی شبکه نمونه

به منظور ارزیابی و تست روش پیشنهادی در این مقاله از شبکه ۳۹ به استاندارد IEEE استفاده شده است. دیاگرام تکخطی این شبکه در شکل (۷) نشان داده شده است [۲۵]. این شبکه شامل ۳۹ بس و ۱۰ ژنراتور می باشد. ۱۹ بار موجود در این شبکه ۱۵۰ مگاوات توان اکتیو و ۲۳۳.۹ مگاوات توان راکتیو مصرف می کنند.

رله دیستانس مورد نظر برای پیاده سازی روش پیشنهادی، بر روی بس ۲۶ و برای حفاظت خط ۲۶-۲۹ قرار داده شده است. برای ارزیابی روش پیشنهادی ابتدا انواع نوسانات توان و خطاهای در نرم افزار DIgSILENT بر روی شبکه نمونه شکل (۷)، اعمال شده اند. در ادامه از سیگنال های جریان در هر سه فاز نمونه برداری می شود. این نمونه ها در محیط نرم افزار Matlab و با اعمال تبدیل کلارک جهت تشخیص نوسان توان و تمایز نوسان توان از خطاهای همزمان مطابق روش پیشنهادی، استفاده شده است.



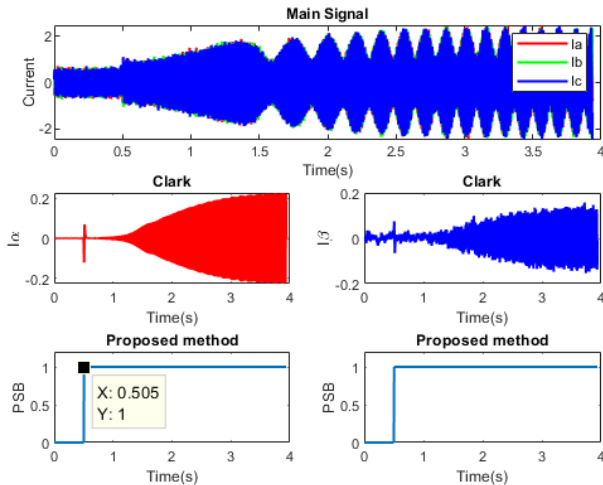
شکل (۷): دیاگرام تکخطی شبکه ۳۹ بس IEEE استاندارد

### ۳-۲-۲- مورد مطالعه ۱: نوسان توان پایدار

به طور کلی نوسان توان زمانی ایجاد می شود که زاویه روتور ژنراتورها در پاسخ به تغییرات در اندازه و جهت بار، کلیدزنی خط، از دست رفتن تحریک ژنراتور و خطاهای نسبت به هم جلو یا عقب می افتد. در این حالت اگر ژنراتور دچار لغش قطب نشده و سیستم به حالت جدیدی از تعادل برسد، نوسان توان پایدار رخ داده است. در این قسمت و برای شبیه سازی شرایط نوسان توان پایدار بر روی خط ۲۶-۲۹ قدرت در خطوط موازی ۲۸-۲۶ و ۲۸-۲۸ در ثانیه ۰.۵ باز می شوند.

شکل (۸) ورود نوسان توان به زون های رله دیستانس را نشان می دهد. عملکرد الگوریتم پیشنهادی در شرایط نوسان توان پایدار در شکل (۹) نشان داده شده است. همان طور که از این شکل مشخص است، نوسان

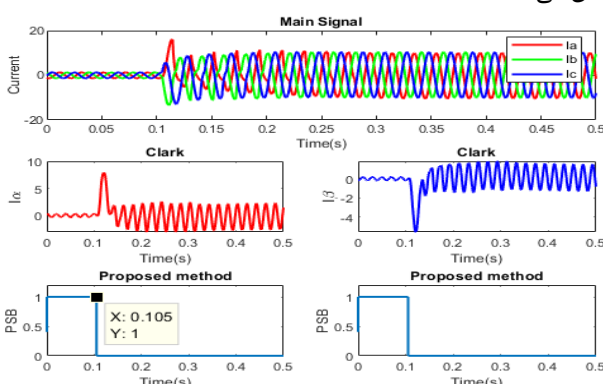
برای شبیه‌سازی شرایط نوسان توان ناپایدار بر روی خط ۲۶-۲۹ یکبار بزرگ در ثانیه ۰.۵. بر روی بس ۲۶ اعمال شده است. همان‌طور که در شکل (۱۲) مشاهده می‌شود، الگوریتم پیشنهادی نوسان توان ناپایدار همراه با نویز گوسی سفید را هم در ۵ میلی‌ثانیه با موفقیت تشخیص داده و رله را به درستی قفل نموده است.



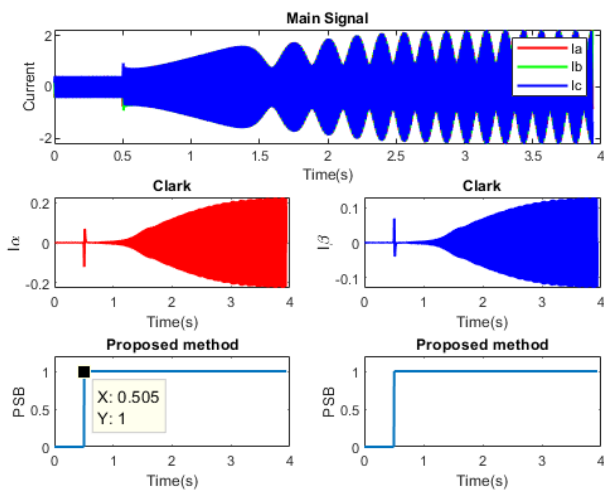
شکل (۱۲): عملکرد الگوریتم پیشنهادی در طول نوسان توان ناپایدار همراه با نویز گوسی سفید

### ۳-۴-۳- مورد مطالعه ۴: اشباع ترانسفورماتور جریان در زمان خطای همزمان با نوسان توان

اشباع ترانسفورماتور جریان موجب کاهش شدید اندوکتانس مغناطیسی و بالطبع افزایش جریان مغناطیسی‌کنندگی هسته می‌گردد. از آنجا که جریان ثانویه ترانسفورماتور از تفاصل جریان اولیه و جریان مغناطیسی کنندگی به دست می‌آید، افزایش شدید جریان مغناطیسی‌کنندگی موجب نقصان و کاهش جریان ثانویه در بخش‌هایی از شکل موج که اشباع رخ داده است، می‌شود. این امر موجب اندازه‌گیری غیردقیق جریان سیستم می‌گردد که می‌تواند موجب عملکرد اشتباہ الگوریتم‌های تشخیص حفاظتی شود. شکل (۱۳) به خوبی نشان می‌دهد که الگوریتم بیان شده در زمان اشباع ترانسفورماتور جریان، نیز عملکرد مناسبی از خود نشان می‌دهد.



شکل (۱۳): عملکرد الگوریتم پیشنهادی در زمان اشباع ترانسفورماتور جریان

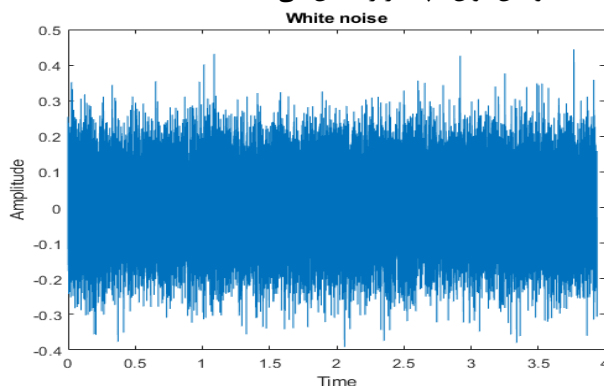


شکل (۱۰): عملکرد الگوریتم پیشنهادی در طول نوسان توان ناپایدار

### ۳-۴-۴- مطالعه ۳: نوسان توان ناپایدار همراه با نویز گوسی سفید

در مهندسی برق و پردازش سیگنال، نویز سفید به سیگنالی گفته می‌شود که توان آن به طور یکنواخت در همه فرکانس‌ها، توزیع شده باشد. به همین دلیل به آن «سفید» می‌گویند، زیرا تابع چگالی طیف توان آن در همه فرکانس‌ها مقداری تقریباً ثابت دارد (مانند نور سفید). تابع خود همبستگی نویز سفید به صورت تابع دلتای دیراک است. نویز سفید، ذاتاً یک فرایند اتفاقی<sup>۶</sup> است. بنابراین، یک مدل آماری برای سیگنال‌ها و منابع سیگنال است، نه یک سیگنال خاص. نویز سفید به هر سیگنال گستته در زمان<sup>۷</sup>، که نمونه‌های آن دنباله‌ای از متغیرهای تصادفی نامهبسسه که دارای میانگین صفر و واریانس متناهی هستند هم گفته می‌شود. بسته به کاربرد ممکن است لازم باشد نمونه‌ها مستقل و با توزیع احتمالی مشابه در نظر گرفته شوند.

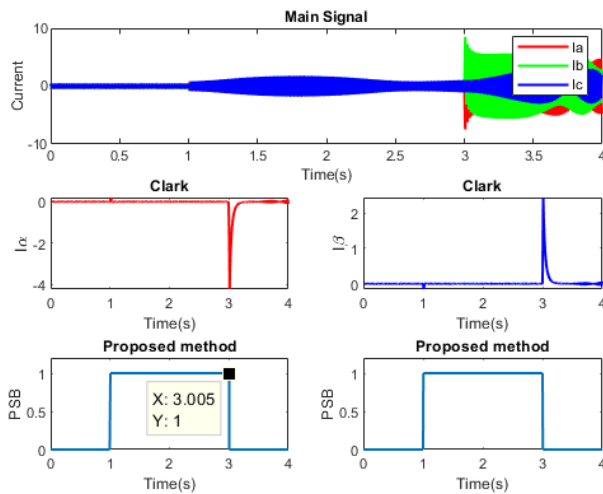
نویز سفید گوسی می‌تواند اثرات نامطلوبی بر روی سیگنال بگذارد. این اثرات نامطلوب می‌توانند باعث عملکرد اشتباہ الگوریتم‌های تشخیص نوسان توان شوند. بدین منظور در این بخش از ارزیابی نرم‌افزاری روش پیشنهادی، عملکرد الگوریتم پیشنهادی در نوسان توان ناپایدار همراه با نویز گوسی سفید بررسی می‌گردد. شکل (۱۱) نویز گوسی سفید اضافه شده به نوسان توان ناپایدار شده به نوسان توان ناپایدار را نشان می‌دهد.



شکل (۱۱): نویز گوسی سفید اضافه شده به نوسان توان ناپایدار

### ۳-۷-۲- مورد مطالعه ۶: خطای دو فاز به یکدیگر همزمان با نوسان توان

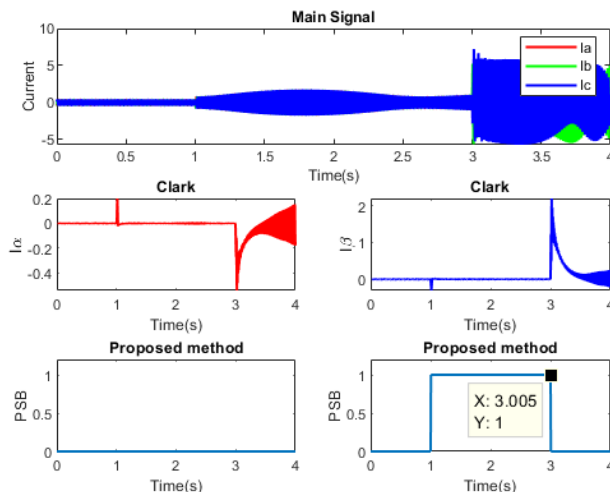
برای شبیه‌سازی این حالت یک خطای دو فاز به یکدیگر در زمان ۳ ثانیه بر روی خط ۲۹-۲۶ اعمال شده است. شکل (۱۵) عملکرد روش پیشنهادی را به ازای خطای دوفاز، نشان می‌دهد. همانطور که از این شکل مشخص است، این خطای نیز با موفقیت توسط رله تشخیص داده شده است و رله از حالت قفل خارج گردیده است.



شکل (۱۵): تشخیص خطای دو فاز به یکدیگر همزمان با نوسان توان

### ۳-۸-۲- مورد مطالعه ۷: خطای دو فاز به یکدیگر به زمین همزمان با نوسان توان

برای شبیه‌سازی این حالت یک خطای دو فاز به یکدیگر به زمین در زمان ۳ ثانیه بر روی خط ۲۹-۲۶ اعمال شده است. شکل (۱۶) عملکرد روش پیشنهادی را نشان می‌دهد. همان‌طور که از شکل (۱۴) مشخص است، زمانی که نوسان توان در شبکه به وجود می‌آید،تابع PSB فعال شده و عملکرد رله قفل می‌شود. با این وجود به محض رخداد خطای تک فاز به زمین همزمان، خطای توسط الگوریتم پیشنهادی تشخیص داده شده و رله از حالت قفل خارج شده است.



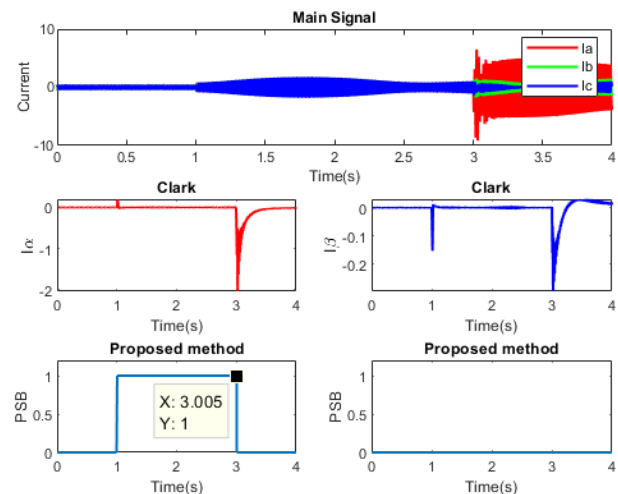
شکل (۱۶): تشخیص خطای دو فاز به یکدیگر به زمین همزمان با نوسان توان

### ۳-۶- مورد مطالعه ۵: خطای تک فاز به زمین همزمان با نوسان توان

یکی از مهم‌ترین موارد در الگوریتم‌های تشخیص نوسان توان، توانایی تشخیص خطای همزمان با نوسان توان است. عدم تشخیص خطای همزمان با نوسان توان باعث ایجاد ناهمانگی در شبکه قدرت شده و درنتیجه خروج چندین خط را در پی خواهد داشت. این پدیده ممکن است موجب ناپایداری در سیستم قدرت شود. برای جلوگیری از این مسئله، روش پیشنهادی به گونه‌ای طراحی شده است که تا زمانی که امپدانس در داخل زون سوم رله دیستانس باشد به کار خود ادامه داده و شرط تعیین شده در رابطه (۹) را مورد ارزیابی قرار خواهد داد. به محض ایجاد خطای در حین نوسان توان، این خطای با نقض شرط رابطه (۹) توسط الگوریتم پیشنهادی تشخیص داده شده و رله از حالت قفل خواهد شد.

برای شبیه‌سازی این حالت یک خطای تک فاز به زمین در زمان ۳ ثانیه بر روی خط ۲۹-۲۶ اعمال شده است. شکل (۱۴) عملکرد روش پیشنهادی را نشان می‌دهد. همان‌طور که از شکل (۱۴) مشخص است، زمانی که نوسان توان در شبکه به وجود می‌آید،تابع PSB فعال شده و عملکرد رله قفل می‌شود. با این وجود به محض رخداد خطای تک فاز به زمین همزمان، خطای توسط الگوریتم تشخیص داده شده و رله از حالت قفل خارج شده است.

همان‌طور که از شکل (۱۴) مشخص است، فقط مقدار  $I_\alpha$  از مقدار آستانه فراتر رفته است و مقدار  $I_\beta$  درون بازه تعیین شده است. با توجه به شرط بیان شده در رابطه (۹) هر کدام از مقادیر  $I_\alpha$  و  $I_\beta$  از بازه تعیین شده فراتر بروند خطای تشخیص داده شده و فرمان قطع کلید قدرت صادر می‌شود.

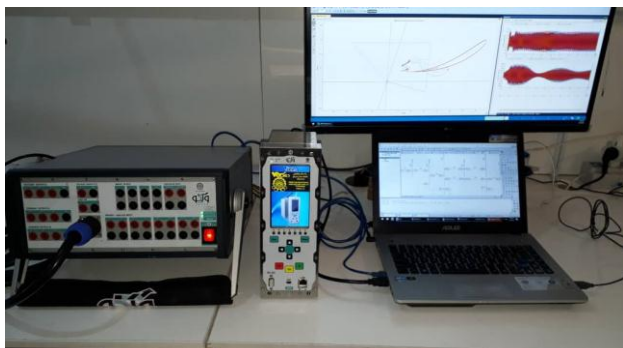


شکل (۱۴): تشخیص خطای تک فاز به زمین همزمان با نوسان توان

همانطور که از نتایج ارائه شده در شکل (۱۸) مشخص است، روش پیشنهادی توانسته است با موفقیت تبدیل یک خطا به خطای دیگر را تشخیص داده و رله را از حالت قفل خارج سازد.

#### ۴- تست عملی روش پیشنهادی

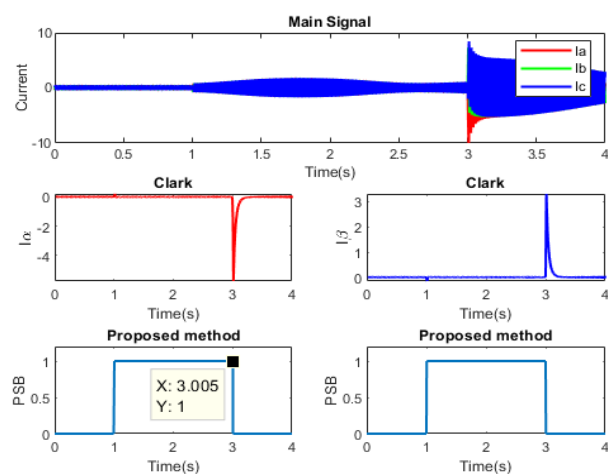
به منظور تست عملی روش پیشنهادی، این روش با استفاده از رله دیستانس و تستر ساخته شده در شرکت دانشبنیان ویکو امیرکبیر، پیاده‌سازی می‌شود. رله انتخاب شده یک رله دیستانس از نوع AMR است که توسط شرکت ایرانی ویکو امیرکبیر طراحی و ساخته شده است. شکل (۱۹) بستر ایجاد شده برای انجام تست عملی فانکشن نوسان توان پیشنهاد شده در این مقاله را برای رله دیستانس نشان می‌دهد. نحوه انجام تست عملی فانکشن نوسان توان در شکل (۲۰) نشان داده شده است. همان‌طور که از این شکل مشخص است، با استفاده از چندین نقطه خطای پشت سرهم که وارد زون سوم رله دیستانس می‌شوند و سپس از آن خارج می‌شوند، یک نوسان توان ایجاد شده در شکل (۲۱) نشان داده است. شکل موج نوسان توان ایجاد شده در شکل (۲۱) نشان داده است. با ورود نوسان توان به زون سوم رله دیستانس، الگوریتم پیشنهادی شروع به کارکرده و چون شرط بیان شده در رابطه (۹) بر هم نمی‌خورد، نوسان توان به درستی تشخیص داده می‌شود. برای تشخیص خطای همزمان با نوسان توان، یک خطا در زون اول رله قرار داده شده است. همان‌طور که از جدول (۳) مشخص است، الگوریتم بیان شده قابلیت تشخیص انواع خطا همزمان با نوسان توان را نیز به خوبی و با زمان بسیار کم دارا می‌باشد.



شکل (۱۹): بستر ایجاد شده برای تست فانکشن نوسان توان پیشنهادی

#### ۳-۹- مورد مطالعه ۸: خطای سه فاز همزمان با نوسان توان

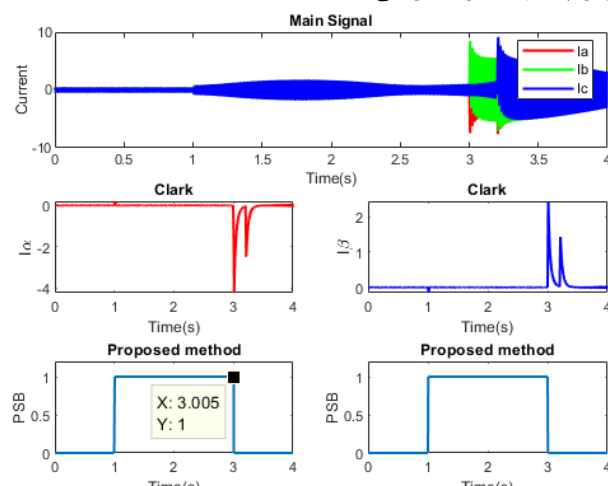
برای شبیه‌سازی این حالت یک خطای سه فاز در زمان ۳ ثانیه بر روی خط ۲۶-۲۹ اعمال شده است. شکل (۱۷) عملکرد روش پیشنهادی را نشان می‌دهد. همان‌طور که از شکل (۱۷) مشخص است، زمانی که نوسان توان در شبکه به وجود می‌آید،تابع PSB فعال شده و عملکرد رله قفل می‌شود. با این وجود به مختص رخداد خطای سه فاز همزمان، خطاب توسط الگوریتم تشخیص داده شده و رله از حالت قفل خارج شده است.



شکل (۱۷): تشخیص خطای سه فاز همزمان با نوسان توان

#### ۳-۱۰- مورد مطالعه ۹: تبدیل خطای دو فاز به سه فاز همزمان با نوسان توان

برای شبیه‌سازی این حالت یک خطای دو فاز به یکدیگر در زمان ۳ ثانیه بر روی خط ۲۶-۲۹ اعمال شده است. در ادامه یک خطای سه فاز در زمان ۳/۲ ثانیه به شبکه اعمال می‌شود. شکل (۱۸) عملکرد روش پیشنهادی را نشان می‌دهد.



شکل (۱۸): عملکرد الگوریتم بیان شده در زمان تغییر خطای دو فاز به سه فاز متعادل

همان‌گونه که از جدول‌های (۳) و (۴) مشخص است، روش معمول صنعتی، نوسان توان را در حدود ۱۰۰ میلی‌ثانیه تشخیص می‌دهد. این در حالی است که روش پیشنهادی در مقاله حاضر، همان نوسان توان را در حدود ۵ میلی‌ثانیه تشخیص می‌دهد. همچنین روش معمول صنعتی در خطای همزمان با نوسان توان عملکرد بسیار متفاوتی از خود نشان می‌دهد. بدان معنا که در هر بار تست اجرا شده، زمان تشخیص متفاوتی توسط این روش ثبت شده است. این در حالی است که روش پیشنهادی برای کلیه حالات تست شده عملکرد باشتابی را نشان می‌دهد.

جدول (۴): نتایج تست در روش معمول صنعتی ارائه شده در [۲۸-۲۶]

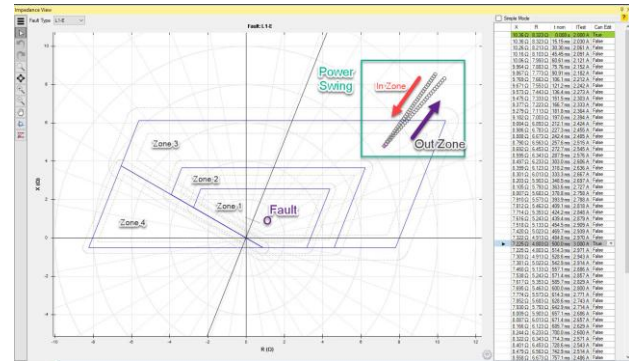
| نوع تست                          | نوسان توان تشخیص داده شده؟ | خطای همزمان با نوسان توان تشخیص داده شده؟ | زمان تشخیص نوسان توان (ms) | زمان تشخیص خطای همزمان با نوسان توان (ms) |
|----------------------------------|----------------------------|---|----------------------------|---|
| نوسان توان پایدار                | بله                        | -   | ۱۰۳/۸                      | -   |
| نوسان توان ناپایدار              | بله                        | -   | ۱۳۹                        | -   |
| خطای تک فاز همزمان با نوسان توان | بله                        | بله                                       | ۱۰۴/۴                      | ۱۰۱/۷                                     |
| خطای سه فاز همزمان با نوسان توان | بله                        | بله                                       | ۱۰۷                        | ۱۲۶/۶                                     |

## ۵- نتیجه‌گیری

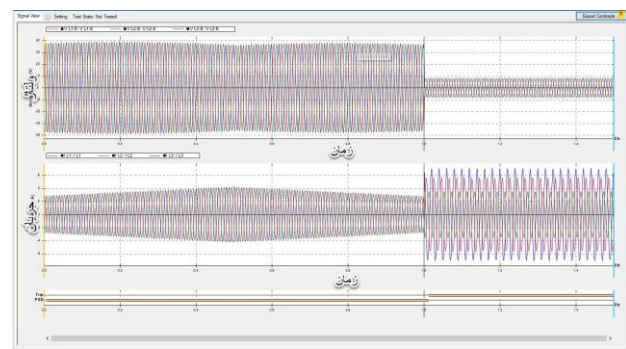
در این مقاله یک روش کارا با قابلیت اطمینان بالا برای تشخیص نوسان توان و همچنین خطاهایی که به صورت همزمان با نوسان توان رخ می‌دهند، ارائه گردید. بر این اساس از تبدیل کلارک برای به دست آوردن نرخ تغییرات در سیگنال حریان استفاده شد. از آنجایی که نرخ تغییرات در زمان نوسان توان و لحظه شروع انسواع خطاهای دائم متفاوت از همیگر هستند، بنابراین با تعیین یک مقدار آستانه می‌توان بین نرخ تغییرات در طول نوسان توان و در زمان رخداد خطاهای همزمان تمایز قائل شد. روش ارائه شده توسط انواع مختلف نوسان توان شامل نوسان توان پایدار و ناپایدار و نیز در خطای سه فاز مورد ارزیابی قرار گرفت. نتایج ارزیابی‌ها اثبات نمود که روش پیشنهادی در زمان رخداد انواع نوسانات توان و خطاهای همزمان عملکرد درستی را در زمان کوتاه نشان می‌دهد. همچنین این روش برخلاف روش‌های مشابه از پیچیدگی کمتری برخوردار است که استفاده از آن را در ساختار رله‌های حفاظتی ممکن می‌سازد.

## مراجع

- [1] J. G. Rao and A. K. Pradhan, "Supervising distance relay during power swing using synchrophasor measurements", *IET Generation, Transmission & Distribution*, vol. 11, no. 17, pp. 4136-4145, 2017.



شکل (۲۰): نحوه تست فانکشن نوسان توان



شکل (۲۱): عملکرد فانکشن نوسان توان در تست عملی

جدول (۳): نتایج تست روش بیان شده

| نوع تست                          | نوسان توان تشخیص داده شده؟ | خطای همزمان با نوسان توان تشخیص داده شده؟ | زمان تشخیص نوسان توان (ms) | زمان تشخیص خطای همزمان با نوسان توان (ms) |
|----------------------------------|----------------------------|---|----------------------------|---|
| نوسان توان پایدار                | بله                        | -   | ۵                          | -   |
| نوسان توان ناپایدار              | بله                        | -   | ۵                          | -   |
| خطای تک فاز همزمان با نوسان توان | بله                        | بله                                       | ۵                          | ۵   |
| خطای سه فاز همزمان با نوسان توان | بله                        | بله                                       | ۵                          | ۵   |

جدول‌های (۳) و (۴) نتایج مقایسه روش پیشنهادی در مقاله حاضر با روش متداول تشخیص خطای رله در رله‌های موجود در صنعت که در مطالعات [۲۸-۲۶] پیشنهاد شده است را ارائه می‌دهند. این مقایسه با استفاده از تست عملی و در سناریوهای متفاوت از قبیل نوسان توان، خطای تک فاز همزمان با نوسان توان و خطای سه فاز همزمان با نوسان توان انجام شده است. همه تست‌ها در شرایط یکسان و با یک نوع رله تست شده‌اند. همچنین خطاهای متفاوت تزریقی توسط دستگاه تست رله به هر دو روش نیز یکسان بوده تا بتوان نتایج را به‌طور دقیق مقایسه کرد.

- International Journal of Electrical Power & Energy Systems*, vol. 105, pp. 581-591, 2019.
- [18] A. Moraes, G. C. Júnior, L. Mariotto, and G. Marchesan, "A morphological filtering algorithm for fault detection in transmission lines during power swings", *Electric Power Systems Research*, vol. 122, pp. 10-18, 2015.
- [19] M. Daryalal and M. Sarlak, "Fast fault detection scheme for series-compensated lines during power swing", *International Journal of Electrical Power & Energy Systems*, vol. 92, pp. 230-244, 2017.
- [20] H. K. Zadeh and Z. Li, "A novel power swing blocking scheme using adaptive neuro-fuzzy inference system", *Electric Power Systems Research*, vol. 78, no. 7, pp. 1138-1146, 2008.
- [21] E. Feilat and K. Al-Tallaq, "A new approach for distance protection using artificial neural network", *IEEE 39th International Universities Power Engineering Conference*, pp. 473-477, 2004.
- [22] B. Taheri, F. Razavi, and S. Salehimehr, "Power swing detection using the variation rates of the average value of apparent power", *IEEE International Conference on Protection and Automation of Power System (IPAPS)*, pp. 38-43, 2019.
- [23] S. Salehimehr, F. Razavi, B. Taheri, and M. Parpaei, "Power swing detection using rate of change in negative sequence component of apparent power", *International Conference on Protection and Automation of Power System (IPAPS)*, 2019.
- [24] S. Lotifard, J. Faiz, and M. Kezunovic, "Detection of symmetrical faults by distance relays during power swings", *IEEE Transactions on Power Delivery*, vol. 25, no. 1, pp. 81-87, 2010.
- [25] M. Pai, "Energy function analysis for power system stability", *Springer Science & Business Media*, 2012.
- [26] S. SIPROTEC, "Distance protection 7SA522 V4. 70", *Instruction manual*, 2011.
- [27] J. Blumschein, Y. Yelgin, and M. Kereit, "Proper detection and treatment of power swing to reduce the risk of blackouts", *IEEE Third International Conference on Electric Utility Deregulation and Restructuring and Power Technologies*, pp. 2440-2446, 2008.
- [28] G. Ziegler, "Numerical distance protection: principles and applications", *John Wiley & Sons*, 2011.
- [2] M. McDonald, D. Tziouvaras, and A. Apostolov, "Power swing and out-of-step considerations on transmission lines", *IEEE PSRC WG D*, vol. 6, pp. 1-59, 2005.
- [3] D. Novosel, G. Bartok, G. Henneberg, P. Mysore, D. Tziouvaras, and S. Ward, "IEEE PSRC report on performance of relaying during wide-area stressed conditions", *IEEE Transactions on Power Delivery*, vol. 25, no. 1, pp. 3-16, 2010.
- [4] J. Blackburn, "Protective relaying principles and applications", *2nd Edition New York Basel Marcel Dekker ed: Inc*, 1998.
- [5] P. S. R. Committee, "Power swing and out-of-step considerations on transmission lines", *IEEE Power Engineering Society*, 2005.
- [6] N. Fischer, G. Benmoulay, D. Hou, D. Tziouvaras, J. Byrne-Finley, and B. Smyth, "Do system impedances really affect power swings—Applying power swing protection elements without complex system studies", *IEEE 65th Annual Conference for Protective Relay Engineers*, pp. 108-119, 2012.
- [7] P. K. Nayak, J. G. Rao, P. Kundu, A. Pradhan, and P. Bajpai, "A comparative assessment of power swing detection techniques", *IEEE Joint International Conference on Power Electronics, Drives and Energy Systems (PEDES)*, pp. 1-4, 2010.
- [8] S. M. Brahma, "Distance relay with out-of-step blocking function using wavelet transform", *IEEE Transactions on Power Delivery*, vol. 22, no. 3, pp. 1360-1366, 2007.
- [9] R. Dubey and S. R. Samantaray, "Wavelet singular entropy-based symmetrical fault-detection and out-of-step protection during power swing", *IET Generation, Transmission & Distribution*, vol. 7, no. 10, pp. 1123-1134, 2013.
- [10] C. Pang and M. Kezunovic, "Fast distance relay scheme for detecting symmetrical fault during power swing", *IEEE Transactions on Power Delivery*, vol. 25, no. 4, pp. 2205-2212, 2010.
- [11] C. Lazaro, J. Marques, G. Marchesan, and G. Cardoso, "Waveform asymmetry of instantaneous current signal based symmetrical fault detection during power swing", *Electric Power Systems Research*, vol. 155, pp. 340-349, 2018.
- [12] B. Taheri, S. Salehimehr, F. Razavi, and M. Parpaei, "Detection of power swing and fault occurring simultaneously with power swing using instantaneous frequency", *Energy Systems*, pp. 1-24, 2019.
- [13] B. Taheri and F. Razavi, "Power swing detection using RMS current measurements", *Journal of Electrical Engineering & Technology*, vol. 13, no. 5, pp. 1831-1840, 2018.
- [14] I. G. Tekdemir and B. Alboyaci, "A novel approach for improvement of power swing blocking and deblocking functions in distance relays", *IEEE Transactions on Power Delivery*, vol. 32, no. 4, pp. 1986-1994, 2017.
- [15] N. G. Chothani, B. R. Bhalja, and U. B. Parikh, "New support vector machine-based digital relaying scheme for discrimination between power swing and fault", *IET Generation, Transmission & Distribution*, vol. 8, no. 1, pp. 17-25, 2014.
- [16] P. K. Nayak, A. K. Pradhan, and P. Bajpai, "A fault detection technique for the series-compensated line during power swing", *IEEE Transactions on Power Delivery*, vol. 28, no. 2, pp. 714-722, 2013.
- [17] M. H. Musa, Z. He, L. Fu, and Y. Deng, "A covariance indices based method for fault detection and classification in a power transmission system during power swing",

## زیرنویس‌ها

<sup>1</sup> Power Swing Blocking(PSB)

<sup>2</sup> Swing center voltage

<sup>3</sup> RMS

<sup>4</sup> Support vector machine

<sup>5</sup> Clark

<sup>6</sup> Stochastic Process

<sup>7</sup> Discrete time signal